

کاربرد روش DGGE در بررسی تنوع ژنتیکی ژن Na^+/K^+ ATPase در جمعیت‌های آرتمیا

DGGE technique application to study genetic diversity of Na^+/K^+ ATPase gene among *Artemia* populations

گلچین موسوی توومتری^{*}، رامین مناف فر^۱، صمد زارع^۱

۱- به ترتیب کارشناس ارشد، استادیار، استاد، دانشگاه ارومیه

Moosavi Toomtari G^{*1}, Manaffar R¹, Zare S¹

۱. Graduated Student, Assistant Professor, Professor, Urmia University, Urmia, Iran

* نویسنده مسئول مکاتبات، پست الکترونیکی: gmoosavit@gmail.com

(تاریخ دریافت: ۹۲/۸/۱۶ - تاریخ پذیرش: ۹۳/۶/۲۳)

چکیده

روش DGGE در انگشت‌تکاری مولکولی قادر است تقاضات قطعات DNA دو رشته‌ای را بر اساس نقطه ذوب آن‌ها در داخل یک ژل دناتوره کننده آشکار سازد. در این تحقیق به منظور بررسی تنوع ژنتیکی در بخشی از ژن Na^+/K^+ Parthenogenetic *Artemia urmiana* با فامیلیهای *Artemia* و *Incheh lake Artemia*، *Urmia lake Lagoons* و *Maharlu lake Artemia* از ایران در مقایسه با دو جمعیت آرتمیای غیر بومی *A. sinica* و *A. franciscana* با استفاده از روش‌های RFLP و DGGE و تعیین توالی مورد بررسی قرار گرفت. بدین منظور پس از استخراج اگزون شماره ۲۱۰ ژن با استفاده از آغازگرهای اختصاصی جنس آرتمیا تکثیر یافت. برش آنزیمی قطعه ۲۸۰ DNA جفت بازی به‌وسیله PCR برای تفکیک محصلو PCR بر روی ژل دناتوره کننده نشان داد که این اگزون را نمایش دهد. استفاده از روش DGGE برای تفکیک محصلو PCR بر روی ژل دناتوره کننده نشان داد که این اگزون به شدت در بین گونه‌های آرتمیا چندشکلی دارد که قبل از تأیید نتایج DGGE شناسایی نشده بود. تأیید نتایج DGGE توسط تعیین توالی و محاسبه فاصله ژنتیکی تنوع نوکلئوتیدی در این اگزون در جمعیت‌های آرتمیا نشان داد که احتمالاً این اگزون دارای نقش بسیار مهمی در ساختار پمپ سدیم-پتاسیم بوده که در طی روند تکاملی آرتمیا و تولید سوبه‌های دو جنسی و پارتیوژن نقش دارد.

واژه‌های کلیدی

آرتمیا

پمپ سدیم-پتاسیم

ژل دناتوره کننده

DGGE

RFLP

مقدمه

در سال‌های اخیر تکنیک PCR-RFLP شتاب فراوانی به مطالعات مربوط به ساختار ژنومی موجودات بخشیده و یکی از روش‌های مطمئن جهت مقایسه توالی یک ژن یا یک بخش از یک ژن خاص در میان افراد مختلف جمعیت‌های یک گونه یا افراد متعلق به گونه‌های مختلف به شمار می‌رود (Manaffar 2012).

DGGE (Denaturing Gradient Gel Electrophoresis) روشی است که بر اساس اختلاف در دناتوره شدن و جدایی قطعات حاصل از PCR با اندازه مشابه در شبیب اوره - فرمامید استوار است (Myers et al. 1987). این روش بر اساس پایداری جفت‌باز GC (سه پیوند هیدروژنی برای هر جفت) در مقابل جفت‌باز AT (دو پیوند هیدروژنی) عمل می‌کند.

مخلوطی از قطعات DNA با توالی‌های متفاوت در یک ژل آکریلامید با شبیب افزایش مواد دناتوره کننده DNA، الکتروفورز می‌شوند. عموماً قطعات DNA غنی از GC مقاومت بیشتری کرده و تا زمان رسیدن به غلظت بیشتری از مواد دناتوره کننده، دو رشته‌ای باقی می‌ماند. قطعات DNA دو رشته‌ای بهتر در ژل آکریلامید حرکت می‌کنند، در حالی که مولکول‌های DNA دناتوره شده بزرگتر شده و حرکت آن‌ها در ژل کاهش یافته یا متوقف می‌شود.

مطالعه حاضر با هدف تعیین تفاوت‌ها در سطح مولکولی و جداسازی جمعیت‌های دو جنسی و پارتنتوژن آرتمیا در ایران بر اساس روش‌های PCR-RFLP و DGGE با استفاده از اگرون شماره ۷ ژن Na^+/K^+ ATPase انجام شد.

مواد و روش‌ها

سیستم‌های مورد استفاده در این آزمایش، از سیستم بانک پژوهشکده آرتمیا و جانوران آبزی تهیه شد. استخراج DNA از سیستم‌های فوق به روش Chelex از سیستم آرتمیا انجام گرفت (Estoup et al. 1996) استخراج شده توسط PCR-RFLP DNA مورد بررسی قرار گرفت. واکنش PCR جهت تکثیر اگرون شماره ۷ مورد نظر با آغازگرهای اختصاصی طراحی شده این ناحیه با نام‌های آغازگر پیشرو 5'-CAG-CCA-
AAC-GTA-TGG-CTT-<C>-3' ex7(1) :
ex7(2): GAA-TTC-AGC-ACG-ACT-GCA-AA-<G>-3'

در جانوران پرسلولی، *Artemia* تنها موجودی است که می‌تواند سطوح بالایی از غلظت نمک را تحمل کند (Browne 1992). بقا تحت چنین شرایطی امکان‌پذیر می‌باشد زیرا آرتمیا دارای اندام‌های تخصص یافته برای خروج نمک از همولنف ایزواسموتیک داخلی به محیط خارجی می‌باشد. در مراحل اولیه تکامل، لارو اساساً نمک را توسط غده نمک (اندام پشتی در ناحیه سر و سینه¹) و بخش میانی مجرای گوارش² به بیرون ترشح می‌کند (Conte 1984). وظیفه انتقال املاح به بیرون در حیوان بالغ بر عهده غددی می‌باشد که در ضمایم سینه‌ای، غدد آواره‌ای و دستگاه داخلی گوارش قرار گرفته‌اند (Holliday et al. 1990). سطح بالای فعالیت پمپ Na^+/K^+ ATPase در حالت افزایش غلظت نمک در این اندام‌ها به اثبات رسیده است (Cortes et al. 1989; Holliday et al. 1990) در نتیجه عملکرد این پروتئین در انتقال Na^+ و K^+ از غشای پلاسمایی مشخص شده که پمپ سدیم-پتاسیم نقش ضروری در تحمل اسمزی بالای آرتمیا ایفا می‌کند (Conte 1984; Cortas et al. 1989; Holliday et al. 1990).

تاکنون ۷ گونه دو جنسی آرتمیا و چندین جمعیت پارتنتوژن آرتمیا شناسایی شده‌است (Asem et al. 2010). هر یک از این جمعیت‌های آرتمیا دارای ویژگی‌های فیزیولوژیک و مورفو‌لولژیک خاص خود بوده که به شرایط ویژه اکولوژیکی سازش یافته و در دامنه و محدوده خاصی از کره زمین یافت می‌شوند. در حقیقت سازش به شرایط سخت محیطی بین جمعیت‌های آرتمیا باعث تولید سویه‌های مختلفی از آرتمیا شده طوری که قادرند در جات متفاوتی از غلظت نمک و دمای محیط (به عنوان اصلی ترین عوامل اکولوژیک) را تحمل کنند (Lotfi et al. 2003). سازگاری Na^+/K^+ به تنش‌های شوری به ساختار مولکولی ژنی به نام ATPase ارتباط دارد (Conte 1989; Cortas et al. 1989; Holliday et al. 1990). لذا پیش‌بینی می‌شود که بتوان اختلافات قابل توجهی را در بین آرتمیاها بیان کرد که بتوان این اختلافات مختلف نمک در این ژن یافت.

¹ Cephalothorax² Midgut

همچنین جهت تایید نتیجه آزمایش پس از بررسی کیفیت محصول PCR، قطعه مورد نظر جهت تعیین توالی نوکلئوتیدی به شرکت سیناکلون تهران ارسال شد. محصول تعیین توالی شده به منظور بررسی تنوع نوکلئوتیدی و فاصله ژنتیکی، با نرمافزار Nei's genetic distance POPGENE و بر اساس رابطه (1973) (1973) بر اساس رابطه (Nei's genetic distance) POPGENE مورد مطالعه قرار گرفت.

نتایج و بحث

نتایج تکثیر قطعه مورد نظر بوسیله آغازگرهای اختصاصی نشان داد که در تمامی جمعیت‌های آرتمیا یک قطعه ۲۸۰ جفت بازی به صورت کامل تکثیر یافته است (شکل ۱).

نتایج بررسی به روش RFLP توسط ۸ آنزیم آندونوکلئاز EcoRI, XbaI(Apol), SmoI, HinfI, HaeIII, SmaI, *Hin61* و *AvaII* نتوانست هیچ اختلافی را بین نمونه‌ها نشان دهد. در حقیقت هیچ اختلافی در الگوی برش مابین نمونه‌ها مشاهده نشد (شکل نشان داده نشد).

الکتروفورز قطعات بر روی ژل دناتوره نشان‌دهنده الگوی الکتروفورزی متفاوت بوده که ناشی از اختلافات نوکلئوتیدی زیاد در این اگرون مابین آرتمیاهای مختلف است (شکل ۲). بررسی دقیق باندهای الکتروفورز نشان داد که الگوی الکتروفورز در اغلب نمونه‌ها شامل حداقل سه باند با درجه ذوب مختلف برای هر نمونه (خصوصاً در آرتمیاهای پارتنوژن) بود. در خصوص تنوع باندهای مشاهده شده در ژل الکتروفورز DGGE باستی اشاره شود که تمامی باندهای فوق در این ژل در اصل دارای وزن مولکولی بسیار نزدیک به هم بوده که در ژل الکتروفورز آگارز هیچگونه تغییری بین نمونه‌ها صورت نگرفته بود. اما در این تکنیک که اساس جداسازی آن بر پایه دمای ذوب رشته‌های DNA می‌باشد اختلافات حتی تک نوکلئوتیدی که حاصل جابجایی بازهای آلی است موجب تغییر دمای ذوب رشته‌های DNA شده و سرعت حرکت و در نهایت الگوی حرکت رشته‌ها بر روی ژل متفاوت شده است.

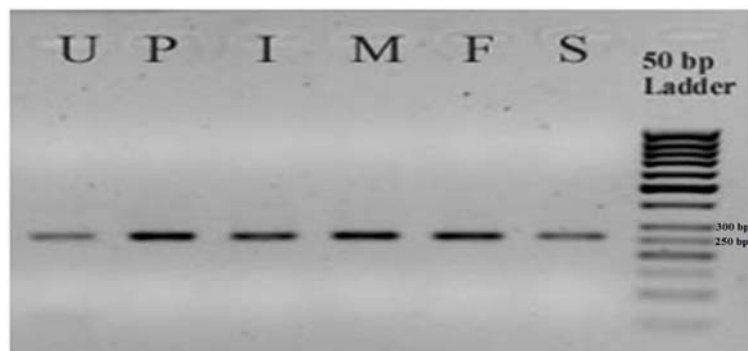
جهت تایید نتایج فوق، قطعه ۲۸۰ جفت نوکلئوتیدی از اگزون

-CCG در روش DGGE یک قطعه غنی از GC شامل -GGG-CCC-GCG-CCC-GGG-GCC-CCC-GGG به ناجیه^۵ آغازگر پیشرو اضافه شد.

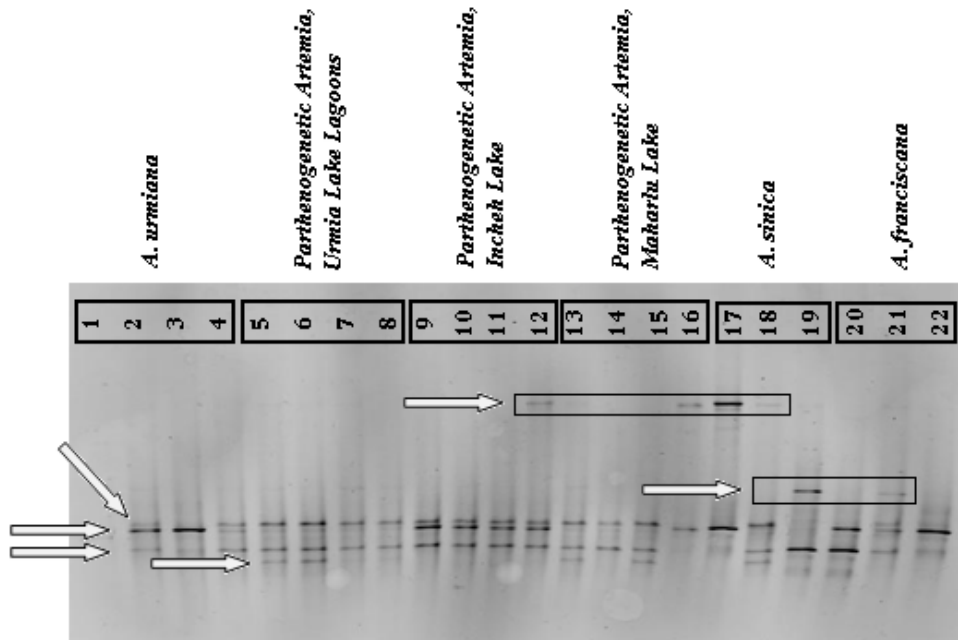
واکنش PCR با ۳/۸ میکرولیتر آب دیونیزه، یک میکرولیتر بافر ۰/۲ PCR، ۱/۸ میکرولیتر MgCl₂ ۰/۸ میکرولیتر dNTPs، ۰/۲ میکرولیتر از آغازگر، ۰/۲ میکرولیتر آنزیم Taq DNA polymerase و دو میکرولیتر DNA با دستگاه ترموسایکلر طبق برنامه ذیل دو دقیقه در دمای ۹۴°C برای واسرشته‌سازی اولیه (Initial Denaturation) در دمای ۹۴°C برای واسرشته‌سازی (Denaturation) ۴۵ ثانیه در ۶۵°C برای اتصال آغازگر (Annealing) و ۲۵ ثانیه در دمای ۷۲°C برای توسعه (Extension) انجام شد. توسعه نهایی قطعات هدف نیز با یک چرخه سه دقیقه‌ای در دمای ۷۲°C بود. محصول PCR شده به روش الکتروفورز با ژل آگارز یک درصد در بافر Cinnagen (TBE 1X) حاوی ۴ میکرولیتر اتیدیوم بروماید، با استفاده از اشعه UV و سیستم عکس‌برداری Gel-documentation مشاهده شد.

به منظور بررسی اختلافات مولکولی ژن مورد مطالعه در ۶ جمعیت دوچنی و پارتنوژن آرتمیا توسط ۸ آنزیم محدود کننده EcoRI, XbaI(Apol), SmoI, HinfI, HaeIII, SmaI, *Hin61* و *AvaII* در درجه حرارت و زمان ارائه شده توسط شرکت مورد UV هضم قرار گرفته سپس توسط دستگاه ژل داک زیر اشعه بروز مردمانه بررسی قرار گرفت.

در تکنیک DGGE همانطور که گفته شد، قطعات PCR دو رشته ای از میان ژل دناتوره کننده حرکت کرده و با واسرشته شدن محدود سرعت حرکت آنها بر اساس میزان واسرشته شدن تغییر می‌کنند. برای جلوگیری از جدایی کامل قطعات دو رشته‌ای، یک دم GC (قطعه غنی از GC) به یکی از آغازگرهای اضافه می‌شود. برای انجام DGGE ژل دناتوره کننده مورد استفاده بر روی شبکه غلاظتی ۲۰-۵۰ درصد تنظیم شد. نمونه‌ها به مدت ۱۴ ساعت در ولتاژ ۱۲۰ ولت و در دمای ۵۷°C الکتروفورز شدند. بعد از اتمام زمان الکتروفورز، ژل توسط اتیدیوم بروماید رنگ‌آمیزی شد و سپس زیر اشعه UV مورد بررسی قرار گرفت.



شکل ۱- باندهای ۲۸۰ bp بدست آمده از الکتروفورز تمامی نمونه‌ها در کنار نشانگر از نوع ۵۰ bp چاهک‌ها به ترتیب (M : *A. franciscana* (F : *A. sinica* (S : *A. urmiana* (U : Parth. Urmia Lake (P : Parth. Incheh Lake (I : Parth. Mahalu Lake می‌باشد.



شکل ۲- الگوی حاصل از الکتروفورز به روش DGGE در ۶ جمعیت آرتمیای ایران. اعداد نمایش دهنده تعداد تکرارها در هر جمعیت می‌باشد. هر پیکان نشان دهنده یک الگوی جدید الکتروفورز می‌باشد. در این الکتروفورز فقط آرتمیای متعلق به دریاچه اینجه هیچ گونه تنوع درون جمعیتی نشان نداد.

مابین آرتمیاهای پارتنوژن با *A. urmiana* حاصل شد در حالی که بالاترین فاصله ژنتیکی مابین گونه‌های دوجنسی آرتمیا *A. sinica* و *A. franciscana* مشاهده شد. بررسی دقیق جدول ذیل همچنین نشان داد که فاصله ژنتیکی این دو گونه دوجنسی آرتمیا با آرتمیاهای پارتنوژن بیشتر از فاصله ژنتیکی آرتمیاهای پارتنوژن با *A. urmiana* می‌باشد.

شماره ۷ از ژن Na^+/K^+ ATPase در تمامی جمعیت‌های آرتمیا تعیین توالی نوکلئوتیدی شد. بررسی توالی‌های مرتب شده در یک نمونه از هر جمعیت نشان دهنده اختلافات نوکلئوتیدی در این اگزون مابین نمونه می‌باشد (شکل ۳). نتایج بررسی اختلافات نوکلئوتیدی توسط نرم‌افزار POPGENE نشان داد اختلاف قابل توجهی مابین نمونه‌های دو جنسی و پارتنوژن دیده می‌شود (جدول ۱). بر اساس محاسبه به عمل آمده کمترین فاصله ژنتیکی

Parth.Maharlu	AGCCGTCGAAACCCTTGGCTCCACCTCAACAATTGCTCAGATAAGACCGGCACCCCTCAC	60
Parth.urmia	AGCCGTCGAAACCCTTGGCTCCACCTCAACAATTGCTCAGATAAGACCGGCACCCCTCAC	60
Parth.Incheh	AGCCGTCGAAACCCTTGGCTCCACCTCAACAATTGCTCAGATAAGACCGGCACCCCTCAC	60
A. urmiana	AGCCGTCGAAACCCTTGGCTCCACCTCAACAATTGCTCAGATAAGACCGGCACCCCTCAC	60
A. sinica	AGCCGTCGAAACCCTTGGCTCCACCTCAACAATTGCTCAGATAAGACCGGCACCCCTCAC	58
A. franciscana	AGCCGTCGAAACCCTTGGCTCCACCTCAACAATTGCTCAGATAAGACACTGGCACCCCTGAC	60
***** * ***** * ***** * ***** * ***** * ***** * ***** * ***** * *****		
Parth.Maharlu	ACAAAACCGTATGACAGTCGCTCACATGTGGTCGATGGAACGATCACTGAGGCTGATAC	120
Parth.urmia	ACAAAACCGTATGACAGTCGCTCACATGTGGTCGATGGAACGATCACTGAGGCTGATAC	120
Parth.Incheh	ACAAAACCGTATGACAGTCGCTCACATGTGGTCGATGGAACGATCACTGAGGCTGATAC	120
A. urmiana	ACAAAACCGTATGACAGTCGCTCACATGTGGTCGATGGAACGATCACTGAGGCTGATAC	120
A. sinica	ACAAAACCGTATGACAGTCGCTCACATGTGGTCGATGGAACGATCACTGAGGCTGATAC	118
A. franciscana	TCAAAACCGTATGACAGTCGCTCACATGTGGTCGACGGAACGATCACCGAGGCTGATAC	120
***** * ***** * ***** * ***** * ***** * ***** * ***** * *****		
Parth.Maharlu	TACTGAAGATCAGTCAGGGCTC--AGTTTGATAAATCATCGGCTGGATGGAAGCTCTT	178
Parth.urmia	TACTGAAGATCAGTCAGGGCTC--AGTTTGATAAATCATCGGCTGGATGGAAGCTCTT	178
Parth.Incheh	TACTGAAGATCAGTCAGGGCTC--AGTTTGATAAATCATCGGCTGGATGGAAGCTCTT	180
A. urmiana	TACTGAAGATCAGTCAGGGCTC--AGTTTGATAAATCATCGGCTGGATGGAAGCTCTT	178
A. sinica	TACTGAAGATCAGTCAGGGCTC--AGTTTGATAAATCATCGGCTGGATGGAAGCTCTT	176
A. franciscana	TACAGAAAGATCAATCAGGGCTC--AGTTTGATAAATCATCGGCTGGATGGAAGCTCTT	178
***** * ***** * ***** * ***** * ***** * ***** * *****		
Parth.Maharlu	GTGAAAATTGCCGCTTTGAGTCGCTGAATTCA	215
Parth.urmia	GTGAAAATTGCCGCTTTGAGTCGCTGAATTCA	215
Parth.Incheh	GTTAAAATTGCCGCTTTGAGTCGCTGAATTCA	217
A. urmiana	GTTAAAATTGCCGCTTTGAGTCGCTGAATTCA	215
A. sinica	GTTAAAATTGCCGCTTTGAGTCGCTGAATTCA	213
A. franciscana	GTTAAAATTGCCGCTTTGAGTCGCTGAATTCA	215
***** * ***** * ***** * *****		

شکل ۳- توالی مرتب شده توسط نرم افزار در جمعیت های مختلف آرتمیا توالی یابی شده در این تحقیق عدم وجود علامت ستاره در زیر هر ردیف نشان دهنده اختلاف نوکلئوتیدی می باشد.

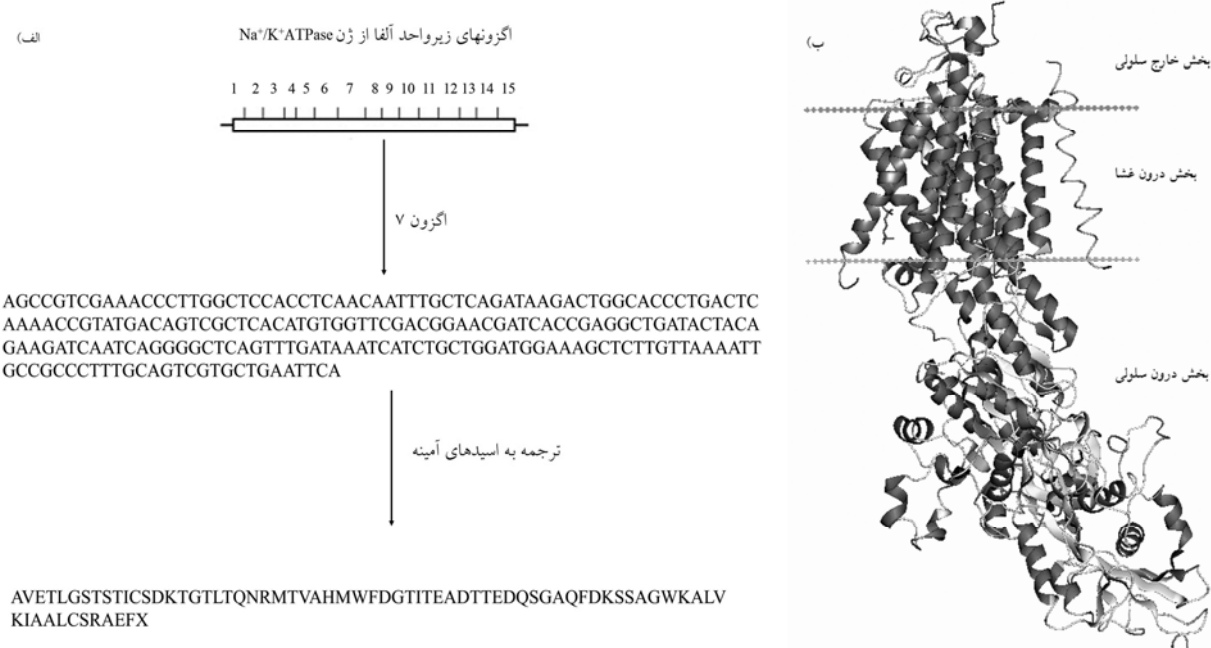
جدول ۱- فاصله ژنتیکی در اگزون ۷ ژن Na^+/K^+ ATPase در ۶ جمعیت مختلف آرتمیا.

A. urmiana (U) A. sinica (S) Parth. Urmia Lake (P) Mahalu Lake

	I	F	M	P	S	U
I	0.0					
F	0.306	0.0				
M	0.273	0.046	0.0			
P	0.273	0.046	0.0	0.0		
S	0.704	0.735	0.726	0.726	0.0	
U	0.292	0.056	0.023	0.023	0.726	0.0

روش RFLP از جمله تکنیک های رایج در تعیین چندشکلی در بین جمعیت های مختلف می باشد که به صورت موثری در بررسی ژن های میتوکندری مورد استفاده قرار گرفته (Taggart et al. 1992; Manaffar 2012) و احتمال اشتباه آن یک در میلیون است (Avise 2004). در بررسی جمعیت پارت نوکلئوتیدی ایران با استفاده از روش PCR-RFLP مشخص شده که به کمک این روش می توان جمعیت آرتمیا پارت نوکلئوتیدی ایران را به ۵ جمعیت جدا کرد (Hajirostamloo 2009). اخیرا در بررسی به عمل آمده توسط روش RFLP، اختلافات بنیادی در بین دو سویه آرتمیا پارت نوکلئوتید ایران را به ۵ جمعیت جدا کرد (Manaffar 2012). با اینکه این روش از پتانسیل بالایی برای نشان دادن تنوع و شباهت های ژنتیکی آرتمیا برخوردار بوده

روش RFLP از جمله تکنیک های رایج در تعیین چندشکلی در بین جمعیت های مختلف می باشد که به صورت موثری در بررسی ژن های میتوکندری مورد استفاده قرار گرفته (Taggart et al. 1992; Manaffar 2012) و احتمال اشتباه آن یک در میلیون است (Avise 2004). در بررسی جمعیت پارت نوکلئوتیدی ایران با استفاده از روش PCR-RFLP مشخص شده که به کمک این روش می توان جمعیت آرتمیا پارت نوکلئوتیدی ایران را به ۵ جمعیت جدا کرد (Hajirostamloo 2009). اخیرا در بررسی به عمل آمده توسط روش RFLP، اختلافات بنیادی در بین دو سویه آرتمیا پارت نوکلئوتید ایران را به ۵ جمعیت جدا کرد (Manaffar 2012). با اینکه این روش از پتانسیل بالایی برای نشان دادن تنوع و شباهت های ژنتیکی آرتمیا برخوردار بوده



شکل ۴- (الف) توالی نوکلئوتیدی اگزون شماره ۷ متعلق به *A. franciscana* تعیین توالی شده در این تحقیق و ترجمه اسیدهای آمینه آن، ب) زیر بخش α از پمپ Na^+/K^+ ATPase.

یک مکان چندشکلی را در *A. franciscana* نشان داده‌اند و ایزوفرم α_1 این پمپ (Lind et al. 2013) و اگزون شماره ۷ آن احتمالاً نقش کلیدی در سازگاری آرتیما نسبت به غلظت‌های مختلف نمک ایفا می‌کنند. وجود چندشکلی مولکولی در این ناحیه و توانایی جمعیت‌های مختلف آرتیما، به زیست در غلظت‌های مختلف نمک، احتمال نقش با اهمیت این بخش کوچک از ژنوم را پیشنهاد می‌کند. در توضیح توانایی جهش‌ها و یا تغییرات تک نوکلئوتیدی در تغییر ساختار سه بعدی و عملکرد پروتئین‌ها تاکنون تحقیقات زیادی به انجام رسیده و جهش‌های تک نوکلئوتیدی مسئول صدها ناهنجاری (Hoj et al. 1993; Sasabe et al. 2007) همچون بیماری داسی شکل گلوبول‌های انسان تشخیص داده شده‌اند. لذا وجود چنین جهش‌های تک نوکلئوتیدی در اگزون شماره ۷ می‌تواند موجب تغییر ساختار پمپ سدیم-پتاسیم در بین جمعیت‌های مختلف آرتیما باشد که جایه‌جایی در ساختار زیر واحد آلفا از ژن سدیم - پتاسیم موجب تغییر و احتمالاً موجب کاهش یا افزایش کارایی این پمپ شود. در بررسی‌های اخیر نیز وجود

در همین راستا در تحقیق حاضر به منظور بررسی تنوع ژنتیکی اگزون شماره ۷ ژن Na^+/K^+ ATPase در ۶ جمعیت متفاوت آرتیما به ترتیب ناحیه فوق توسط روش‌های RFLP، DGGE و سازگاری تعیین توالی مورد بررسی قرار گرفت. با بررسی‌های به عمل آمده در خصوص جمعیت‌ها و سویه‌های مختلف آرتیما مشخص شده که این موجود در طی میلیون‌ها سال با دستیابی به انواع سازگاری‌های متفاوت در شریط مختلف اکولوژیک به بقای خود ادامه داده (Browne 1992; Yeong 2008) و هم اکنون با سویه‌های مختلفی که ویژگی‌های مختلف اکولوژیک را تحمل می‌کنند شناسایی می‌شوند (Lotfi et al. 2003). با توجه به اینکه آرتیما در آب‌هایی با غلظت نمک متفاوت یافت می‌شود بخشی از این سازگاری‌های فیزیولوژیک می‌تواند ناشی از ساختار Na^+/K^+ ATPase باشد (Holliday et al. 1990; Lind et al. 2013). این ژن که در اغلب موجودات با ساختار متفاوتی دیده می‌شود، حدس زده شده که دارای درجات مختلفی از چندشکلی در بین جمعیت‌های مختلف آرتیما می‌باشد. گزارش شده که ژن‌های کد کننده زیر واحد α_1 از پمپ Na^+/K^+ ATPase عالائمی از وجود

فیزیولوژیک این دو جمعیت متفاوت آرتمیا بیشتر به چشم می-
خورد (Manaffar 2012).

با توجه به گونه‌زایی آلپاتریکی آرتمیا (Manaffar 2012) به نظر می‌رسد اختلافات مولکولی مشاهده شده در بین جمعیت‌های آرتمیا می‌تواند ناشی از فشار اکولوژیکی محیط باشد که نهایتاً موجب انتخاب جمعیتی و یا جهش‌های مفید ژنتیکی شده است. با توجه به تنوع ژنتیکی مشاهده شده در بخش کوچکی از ژن Na^+/K^+ ATPase و قابلیت تکنیک DGGE در ردیابی اختلافات کوچک شاید بتوان در آینده به کسب نتایج ارزشمندتر در خصوص تنوع ژنتیکی خصوصاً دلایل کاربردی تغییرات مولکولی در این ژن بین جمعیت‌های آرتمیا امیدوار بود.

منابع

- Abreu-Grobois FA (1987) A review of the genetics of *Artemia*. In Sorgeloos P D A Bengtson, W. Decleir and E. Jaspers (eds.), *Artemia research and its applications. Morphology, genetics, strain characterization, toxicology*. Universa Press, Wetteren, Belgium 1:61-99.
- Avise JC (2004) Molecular markers, natural history and evolution. Sinauer Associates Inc Publishers, Sunderland, Massachusetts 541p.
- Asem A, Rastegar-Pouyani N, De Los Rios P (2010) The genus *Artemia* Leach, 1819 (Crustacea: Branchiopoda): true and false taxonomical descriptions. Latin American Journal of Aquatic Research 38:501-506.
- Baxevanis AD, Kappas I, Abatzopoulos TJ (2006) Molecular phylogenetics and asexuality in the brine shrimp *Artemia*. Molecular Phylogenetics and Evolution 40:724-738.
- Brown R (1992) Population genetics and ecology of *Artemia*: Insights into parthenogenetic reproduction. Elsevier Science Publishers Ltd.
- Conte FP (1984) Structure and function of the crustacean larval salt gland. International Review of Cytology 91:45-106.
- Conte FP (1989) Molecular biology of larval osmoregulation. in Warner, AH, Macrae TH and Bagshaw JC, eds. Cell and molecular biology of *Artemia* development. Plenum Press, New York 174:371-376.
- Cortas N, Arnaout M, Salon J, Edelman IS (1989) Isoforms of Na^+/K^+ ATPase in *Artemia salina*: II. Tissue distribution and kinetic characterization. Journal of Membrane Biology 108:187-195.
- Dooms S, Papakostas S, Hoffman S, Delbare D, Dierckens K, Triantafyllidis A, DeWolf T, Vadstein O, Abatzopoulos TJ, Sorgeloos P, Bossier P (2007) Denaturing Gradient Gel Electrophoresis (DGGE) as a tool

پدیده gene splicing در تولید محصولات مختلف از این ژن پیش‌بینی شده است (Manaffar 2012; Lind et al. 2013).

بر اساس مطالعات به عمل آمده ارتباط ژنتیکی نزدیکی ما بین *A. urmiana* با دیگر جمعیت‌های پارتئوزن آرتمیا پیشنهاد شده است (Abreu-Grobois 1987). بر اساس این مطالعات احتمالاً نسل اول آرتمیاهای پارتئوزن چیزی حدود ۵/۵ میلیون سال قبل از آرتمیای دو جنسی (به احتمال زیاد *A. urmiana*) در منطقه خاورمیانه جدا شده‌اند (Baxevanis et al. 2006). نتایج تحقیق حاضر نیز روابط مولکولی نزدیک این دو جمعیت مختلف آرتمیا را به اثبات رساند. این بررسی نشان داد که با وجود گذشت چندین میلیون سال همچنان این دو جمعیت آرتمیا روابط نزدیک ژنتیکی خود را حفظ کرده‌اند چیزی که در بررسی‌های فنوتیپی، اکولوژیک و

for the characterisation of *Brachionus* sp. strains. Aquaculture 262:29-40.

Estoup A, Largiader CR, Perrot E, Chourrout D (1996) Rapid one tube DNA extraction for reliable PCR detection of fish polymorphic markers and transgenes. Molecular Marine Biology and Biotechnology 5:295-298.

Gajardo G, Crespo J, Triantafyllidis A, Tzika A, Baxevanis A, Kappas I, Abatzopoulos TJ (2004) Species identification of Chilean *Artemia* populations based on mitochondrial DNA RFLP analysis. Journal of Biogeography 31:547-555.

Hajirostamloo M (2009) Genetic Differentiation of *Artemia* parthenogenetica from Various Ecological Population of Iran. World Academy of Science, Engineering and Technology 49 (In Farsi).

Hoj S, Fredholm M, Larsen NJ, Nielsen VH, (1993) Growth hormone gene polymorphism associated with selection for milk fat production in lines of cattle. Animal Genetics 24:91-96.

Holliday CW, Roye DB, Roer RD (1990) Salinity induced changes in branchial Na^+/K^+ ATPase activity and transepithelial potential difference in the brine shrimp *Artemia salina*. Journal of Experimental Biology 151:279-296.

Lind U, Alm Rosenblad M, Wrangé AL, Sundell KS, Jonsson PR, Andre C, Havenhand J, Blomberg A (2013) Molecular Characterization of the α -Subunit of Na^+/K^+ ATPase from the Euryhaline Barnacle *Balanus improvisus* Reveals Multiple Genes and Differential Expression of Alternative Splice Variant. PLoS ONE 8:10.

Lotfi VG, Agh N, Sepehri H (2003) Effects of different salinities on survival, growth and reproductive characteristics of *Artemia* parthenogenetica from Lagoons and Maharl Lake in Iran. Journal of Basic Sciences, Faculty of Science, Tehran University 29:305-316.(In Farsi)

Manaffar R (2012) Genetic diversity of *Artemia* populations in Lake Urmia, Iran. PhD thesis, Ghent University, Belgium.

Muyzer G, Smalla K (1998) Application of denaturing gradient gel electrophoresis (DGGE) and temperature gradient gel electrophoresis (TGGE) in microbial ecology. Antonie Van Leeuwenhoek 73:127-141.

Myers RM, Maniatis T, Lerman LS (1987) Detection and localization of single base changes by denaturing gradient gel electrophoresis. Methods in Enzymology 155:501-527.

Sáez AG, Escalante R, Sastre L (2000) High DNA sequence variability at the a1 Na^+/K^+ ATPase locus of *Artemia franciscana* (brine shrimp): polymorphism in a gene for salt-resistance in a salt-resistant organism. Molecular Biology and Evolution 17:235-250.

Sasabe T, Furukawa A, Matsushita S, Higuchib S, Ishiuraa S (2007) Association analysis of the dopamine receptor D2 (DRD2) SNP rs1076560 in alcoholic patients. Neuroscience Letters 412:139-142.

Shinoda T, Ogawa H, Cornelius F, Toyoshima C (2009) Crystal structure of the sodium-potassium pump at 2.4 Å° resolution. Nature 459:446-450.

Taggart JB, Hynes RA, Prodohi PA, Ferguson A (1992) A simplified protocol for Routine total DNA isolation from salmonid fishes. Journal of Fish Biology 40:963-965.

Yeong YS (2008) Protection of *Artemia* from vibriosis by heat shock and heat shock proteins. PhD thesis, Ghent University, Belgium.

Archive of SID